

Применение моментной схемы метода конечных элементов для решения задач инкрементальной теории упругости с начальными напряжениями

Б. М. Дохняк^а, В. В. Киричевский^б, М. И. Ищенко^а

^а Восточно-украинский национальный университет им. В. Даля, Луганск, Украина

^б Запорожский государственный университет, Запорожье, Украина

Рассмотрено применение метода конечных элементов к решению задач теории упругости с начальными напряжениями. На основе инкрементальной теории деформируемого твердого тела получены соотношения метода конечных элементов для вычисления коэффициентов матрицы жесткости предварительно напряженного пространственного элемента серендипова семейства с квадратичной аппроксимацией перемещений. Выполнен расчет напряженно-деформированного состояния внецентренно сжатой балки и круглой плиты в условиях продольно-поперечного изгиба. Приведено сравнение численных результатов с аналитическими решениями. Исследовано изменение деформаций сжатия и сдвига цилиндрического амортизатора в зависимости от степени деформирования и последовательности приложения нагрузок.

Ключевые слова: метод конечных элементов, матрица жесткости, инкрементальная теория.

Существует большой класс конструкций, в которых предварительное напряжение существенно изменяет их деформативные свойства. К таким конструкциям относятся резинометаллические шарниры, резинокордные изделия (баллоны пневматических амортизаторов, резинопневматические муфты, шины и др). Широко применяемые в технике резиновые элементы, работающие на сжатие и растяжение, изготавливают обычно в виде цилиндров или параллелепипедов с привулканизованными к торцам металлическими пластинками, которые служат для крепления амортизатора. Характер и последовательность приложения нагрузок влияют на деформативные свойства материала и конструкций.

Большинство решенных задач механики деформируемой сплошной среды аналитическими и численными методами базируются на традиционной теории упругости. Учет предварительного напряжения при решении практических задач предполагает применение инкрементальной теории и связан со значительными математическими трудностями. Поэтому существует ограниченный класс задач теории упругости, для которых получены аналитические решения [1–3].

Для широкого класса конструкций учет влияния начальных напряжений позволяет выявить дополнительные резервы их прочности и жесткости.

Среди работ, посвященных применению метода конечных элементов к решению практических задач, отметим [4–10]. В то же время следует заметить, что при многочисленной теоретической базе недостаточно полно освещены решения практических задач.

Цель работы – на базе трехмерной инкрементальной теории деформируемого твердого тела реализовать численное решение практических задач с начальными напряжениями на основе метода конечных элементов.

Краевая задача для конструкции с предварительным напряжением определяется заданием дополнительных массовых сил \bar{q}^i , дополнительных внешних сил \bar{p}^i на S_σ и перемещений u_i на поверхности S_u , где перемещения отсчитываются от исходного состояния.

Формулировка инкрементальной теории начинается с представления пути деформирования в виде последовательности равновесных состояний $T^{(0)}, T^{(1)}, \dots, T^{(N)}, T^{(N+1)}, \dots, T^{(f)}$, где $T^{(0)}$ и $T^{(f)}$ – начальное и конечное состояния деформирования соответственно; $T^{(N)}$ – произвольное промежуточное состояние.

В линейной инкрементальной теории достаточно рассмотреть два равновесных состояния $T^{(0)}$ и $T^{(1)}$. Пусть положения произвольной материальной точки тела в состояниях $T^{(0)}$ и $T^{(1)}$ обозначим через $P^{(0)}$ и $P^{(1)}$ соответственно, $\bar{r}^{(0)}$ и $\bar{r}^{(1)}$ – радиусы-векторы этих точек. Декартовы координаты точек $T^{(0)}$ и $T^{(1)}$ равны z_i, Z_i ($i=1, 2, 3$).

Итак, имеем

$$\begin{aligned}\bar{r}^{(0)} &= z_i \bar{l}_i, \\ \bar{r}^{(1)} &= Z_i \bar{l}_i = \bar{r}^{(0)} + \bar{u} = (z_i + u_i) \bar{l}_i,\end{aligned}$$

где \bar{l}_i ($i=1, 2, 3$) – базисные векторы прямоугольной декартовой системы координат; \bar{u} ($i=1, 2, 3$) – вектор перемещений и его компоненты в состоянии $T^{(1)}$.

Обозначим тензоры деформаций Грина в состояниях $T^{(0)}$ и $T^{(1)}$ через ε_{ij}^0 и ε_{ij} соответственно. Они определяются как

$$\begin{aligned}2(\varepsilon_{ij}^0 + \varepsilon_{ij}) &= \bar{r}_{,i}^{(1)} \bar{r}_{,j}^{(1)} - \bar{r}_{,i}^{(0)} \bar{r}_{,j}^{(0)} = (u_i^0 + u_i)_{,j} + (u_j^0 + u_j)_{,i} + \\ &+ (u_k^0 + u_k)_{,i} (u_k^0 + u_k)_{,j},\end{aligned}$$

где $u_{j,i} = \partial u_j / \partial z_i$.

Линеаризуя ε_{ij} по u_k , получаем

$$\varepsilon_{ij} = \frac{1}{2} [(\delta_{kj} + u_{k,j}^0) u_{k,i} + (\delta_{ki} + u_{k,i}^0) u_{k,j}]. \quad (1)$$

Для описания напряженного состояния вводится тензор напряжений Эйлера, действующие в точках $P^{(0)}$ и $P^{(1)}$ напряжения обозначим через величины σ_0^{ij} и σ^{ij} соответственно, где σ_0^{ij} – напряжения, действующие на шести гранях

$$z_i = \text{const}, \quad z_i + dz_i = \text{const} \quad (i=1, 2, 3) \quad (2)$$

бесконечно малого прямоугольного параллелепипеда, содержащего точку $P^{(0)}$ в состоянии $T^{(0)}$, и отнесенные к единичной площади в состоянии $T^{(0)}$. Аналогично σ_{ij} – напряжения, действующие на шести гранях $Z_i = \text{const}$, $Z_i + dZ_i = \text{const}$ ($i = 1, 2, 3$), бесконечно малого прямоугольного параллелепипеда, содержащего точку $P^{(1)}$ в состоянии $T^{(1)}$, и отнесенные к единичной площади в состоянии $T^{(1)}$.

Введем модифицированный тензор напряжений Кирхгоффа в точке $P^{(1)}$ через величины $\sigma_0^{ij} + \sigma^{ij}$. Модифицированный тензор напряжений Кирхгоффа определяется следующим образом. Бесконечно малый параллелепипед, ограниченный шестью поверхностями (2), зафиксирован в состоянии $T^{(0)}$. Действующий на этот прямоугольный параллелепипед тензор напряжений Эйлера обозначим через σ_0^{ij} . В состоянии $T^{(1)}$ прямоугольный параллелепипед деформируется в бесконечно малый параллелепипед, но уже не прямоугольный.

Инкрементальная теория формулируется с помощью модифицированного подхода Лагранжа, в котором используются модифицированные тензоры напряжений Эйлера и модифицированные тензоры деформаций Грина. Отметим, что напряжения и внешние силы на S_u отнесены к единичной площади, а массовые силы – к единичному объему состояния $T^{(0)}$. Тогда принцип виртуальной работы в состоянии $T^{(1)}$ запишем в виде [2]

$$\iiint_V [(\sigma_0^{ij} + \sigma^{ij})\delta\varepsilon_{ij} - (\bar{q}_i^0 + \bar{q}_i)\delta u_i]dV - \iint_{S_\sigma} (\bar{p}_i^0 + \bar{p}_i)\delta u_i dS = 0, \quad (3)$$

где $u_i = \bar{u}_i$ на S_u ; ε_{ij} описываются уравнением (2), вариации определяются по отношению к u_i .

Массовые и поверхностные силы на S_σ определяются по отношению к единичному объему и единичной площади в состоянии $T^{(1)}$, т.е. $dV = dZ_1 dZ_2 dZ_3$ и dS представляют собой соответственно элементарные объем и площадь поверхности в состоянии $T^{(1)}$. Пренебрегая членами высшего порядка малости по приращениям перемещений, после преобразований получаем

$$\iiint_V \left[\sigma^{ij}\delta\varepsilon_{ij} + \frac{1}{2}\sigma_0^{ij}\delta\left(\frac{\partial u_k}{\partial Z_i}\frac{\partial u_k}{\partial Z_j}\right) - \bar{q}_i\delta u_i + \sigma_0^{ij}\delta\varepsilon_{ij} - \bar{q}_i^0\delta u_i \right]dV - \iint_{S_\sigma} (\bar{p}_i^0 + \bar{p}_i)\delta u_i dS = 0. \quad (4)$$

Если $T^{(1)}$ – равновесное состояние, то в уравнении (4) члены вариации упругой энергии с учетом начального напряжения будут

$$\iiint_V [\sigma_0^{ij} \delta \varepsilon_{ij} - \bar{q}_i^0 \delta u_i] dV - \iint_{S_\sigma} \bar{p}_i^0 \delta u_i dS = 0, \quad (5)$$

и уравнение равновесия принимает вид

$$\iiint_V \left[\sigma^{ij} \delta \varepsilon_{ij} + \frac{1}{2} \sigma_0^{ij} \delta \left(\frac{\partial u_k}{\partial Z_i} \frac{\partial u_k}{\partial Z_j} \right) - \bar{q}_i \delta u_i \right] dV - \iint_{S_\sigma} \bar{p}_i \delta u_i dS = 0. \quad (6)$$

Для исследования напряженно-деформированного состояния пространственных конструкций из эластомеров рассмотрим изопараметрический конечный элемент (КЭ) серендипова семейства в виде шестигранного параллелепипеда с длиной ребер, равной двум. Начало базисной системы координат Z_i и произвольной местной системы x^i , оси которой совпадают с направлением его ребер, помещаем в центре куба.

Рассмотрим вывод матриц жесткости предварительно напряженного конечного элемента. Под предварительными напряжениями понимаем те напряжения, которые возникли в конструкции в исходном состоянии, т.е. перед началом интересующей нас деформации, до приложения рабочей нагрузки. В задаче с предварительными напряжениями выберем исходное состояние в качестве отсчетного. Перемещение по объему КЭ серендипова семейства аппроксимируем в виде квадратичного полинома:

$$u_k = \sum_{pqr} \omega_k^{(pqr)} \psi^{(pqr)} \quad \left(\sum_{pqr} = \sum_{p=0}^l \sum_{q=0}^m \sum_{r=0}^n \right), \quad (7)$$

где ω_k – коэффициенты разложения; $\psi^{(pqr)}$ – набор степенных функций вида

$$\psi^{(pqr)} = \frac{(x^1)^p}{p!} \frac{(x^2)^q}{q!} \frac{(x^3)^r}{r!} \quad (8)$$

$$(p = 0, 1, \dots, l; q = 0, 1, \dots, m; r = 0, 1, \dots, n);$$

$$\begin{aligned} u_k = & \omega_k^{(000)} + \omega_k^{(100)} x^1 + \frac{1}{2} \omega_k^{(200)} (x^1)^2 + \omega_k^{(010)} x^2 + \omega_k^{(110)} x^1 x^2 + \\ & + \frac{1}{2} \omega_k^{(210)} (x^1)^2 x^2 + \frac{1}{2} \omega_k^{(020)} (x^2)^2 + \frac{1}{2} \omega_k^{(120)} x^1 (x^2)^2 + \omega_k^{(001)} x^3 + \omega_k^{(101)} x^1 x^3 + \\ & + \frac{1}{2} \omega_k^{(201)} (x^1)^2 x^3 + \omega_k^{(011)} x^2 x^3 + \omega_k^{(111)} x^1 x^2 x^3 + \frac{1}{2} \omega_k^{(211)} (x^1)^2 x^2 x^3 + \\ & + \frac{1}{2} \omega_k^{(021)} (x^2)^2 x^3 + \frac{1}{2} \omega_k^{(121)} x^1 (x^2)^2 x^3 + \frac{1}{2} \omega_k^{(002)} (x^3)^2 + \end{aligned}$$

$$+ \frac{1}{2} \omega_k^{(102)} x^1 (x^3)^2 + \frac{1}{2} \omega_k^{(012)} x^2 (x^3)^2 + \frac{1}{2} \omega_k^{(112)} x^1 x^2 (x^3)^2. \quad (9)$$

Для координатных функций $\psi^{(pqr)}$ справедливо соотношение дифференцирования:

$$\partial^{(\alpha+\beta+\gamma)} \psi^{(pqr)} = \psi^{(p-\alpha)(q-\beta)(r-\gamma)}, \quad (10)$$

где α, β, γ – порядок производных.

Для построения уравнений метода конечных элементов (МКЭ) используется уравнение (6). Пусть $W = \sum_{k=1}^n W_k^3$ – потенциал упругой энергии деформации.

В соответствии с (6) вариацию δW энергии упругой деформации конечного элемента принимаем в виде

$$\delta W = \int \int \int_V \left[\sigma^{ij} \delta \varepsilon_{ij} + \sigma_0^{ij} \frac{1}{2} \delta (u_{k,i} u_{k,j}) \right] dV, \quad (11)$$

работа внутренних и внешних сил на упругих деформациях будет равна

$$\delta A = \int \int \int_V \bar{q}_i \delta u_i dV - \int \int_S \bar{p}_i \delta u_i dS.$$

Компоненты тензора упругих напряжений принимаем в виде закона Гука:

$$\sigma^{ij} = 2\mu g^{ik} g^{il} \varepsilon_{kl} + \lambda \Theta g^{ij}, \quad (12)$$

где μ, λ – коэффициенты Ламе; g^{ij} – компоненты метрического тензора; Θ – функция изменения объема.

Представим компоненты тензора деформаций ε_{ij} в виде ряда Маклорена с разложением в окрестности начала координат:

$$\varepsilon_{ij} = \sum_{s=0}^{L_{ij}} \sum_{t=0}^{M_{ij}} \sum_{g=0}^{N_{ij}} e_{ij}^{(stg)} \psi^{(stg)}. \quad (13)$$

Выражение (13) в матричной форме таково:

$$\{\varepsilon_{ij}\} = \{e_{ij}\}^T \{\psi_{(ij)}\}. \quad (14)$$

Компоненты разложения e_{ij} тензора деформации ε_{ij} в ряд Маклорена представим через коэффициенты $\omega_k^{(pqr)}$ посредством преобразования:

$$\{e_{ij}\} = [F_{ij}^k] \{\omega_k\}. \quad (15)$$

Для учета слабой сжимаемости эластомеров функцию изменения объема запишем также в виде ряда:

$$\Theta = \sum_{\alpha=0}^{l-1} \sum_{\beta=0}^{m-1} \sum_{\gamma=0}^{n-1} \xi^{(\alpha\beta\gamma)} \psi^{(\alpha\beta\gamma)}, \quad (16)$$

где коэффициенты разложения $\xi_{ij}^{(\alpha\beta\gamma)}$ определяются соотношением

$$\xi^{(\alpha\beta\gamma)} = \frac{\partial^{(\alpha+\beta+\gamma)} u_{i,j} g^{ij}}{(\partial x^1)^\alpha (\partial x^2)^\beta (\partial x^3)^\gamma} \Big|_{x^1=x^2=x^3=0}. \quad (17)$$

В матричной форме соотношения (16) и (17) имеют вид

$$\Theta = \{\xi\}^T \{\psi_{(\Theta)}\}; \quad (18)$$

$$\{\xi\} = [F_{\Theta}^k] \{\omega_k\}. \quad (19)$$

Подставляя (12) и (14) в вариацию энергии упругой деформации (11), получаем

$$\begin{aligned} \delta W^0 &= \int \int \int_V \{\delta \varepsilon_{ij}\}^T \{\psi_{(ij)}\}^T 2\mu g^{ik} g^{jl} \{\psi_{(kl)}\} \{\varepsilon_{kl}\} dV + \\ &+ \int \int \int_V \{\delta \xi\}^T \{\psi_{(\Theta)}\}^T \lambda g^{ij} \{\psi_{(\Theta)}\} \{\xi\} dV + \frac{1}{2} \int \int \int_V \sigma_0^{ij} \delta(u_{k,i} u_{k,j}) dV; \\ \delta W^0 &= \int \int \int_V \{\delta \varepsilon_{ij}\}^T \{\psi_{(ij)}\}^T 2\mu g^{ik} g^{jl} \{\psi_{(kl)}\} \{\varepsilon_{kl}\} dV + \\ &+ \int \int \int_V \{\delta \xi\}^T \{\psi_{(\Theta)}\}^T \lambda g^{ij} \{\psi_{(\Theta)}\} \{\xi\} dV + \frac{1}{2} \int \int \int_V \sigma_0^{ij} [\delta u_{k,i} u_{k,l} + u_{k,l} \delta u_{k,j}] dV; \\ \delta W^0 &= \int \int \int_V \{\delta \varepsilon_{ij}\}^T \{\psi_{(ij)}\}^T 2\mu g^{ik} g^{jl} \{\psi_{(kl)}\} \{\varepsilon_{kl}\} dV + \\ &+ \int \int \int_V \{\delta \xi\}^T \{\psi_{(\Theta)}\}^T \lambda g^{ij} \{\psi_{(\Theta)}\} \{\xi\} dV + \int \int \int_V \sigma_0^{ij} u_{k,i} \delta u_{k,j} dV = \\ &= \{\delta \varepsilon_{ij}\}^T [E^{ijkl}] \{\varepsilon_{kl}\} + \{\delta \xi\}^T [E^{(\Theta)}] \{\xi\} + \{\delta \omega_k\}^T \{\psi_{k,i}\}^T \{\sigma_0^{ij}\} \{\psi_{k,j}\} \{\omega_k\} = \\ &= \{\delta e_{ij}\}^T [E^{ijkl}] \{e_{kl}\} + \{\delta \xi\}^T [E^{(\Theta)}] \{\xi\} + \end{aligned}$$

$$+ \{\delta u_k\} [A]^T \{\psi_{(k,i)}\}^T \{\sigma_0^{ij}\} \{\psi_{(k,j)}\} [A] \{u_k\},$$

где

$$\begin{aligned} [E^{ijkl}] &= \int_{-1}^1 \int_{-1}^1 \int_{-1}^1 2\mu g^{ik} g^{jl} \{\psi_{(ij)}\}^T \{\psi_{(kl)}\} \sqrt{g} dx^1 dx^2 dx^3; \\ [E^{(\Theta)}] &= \int_{-1}^1 \int_{-1}^1 \int_{-1}^1 \lambda g^{ij} \{\psi_{(\Theta)}\}^T \{\psi_{(\Theta)}\} \sqrt{g} dx^1 dx^2 dx^3. \end{aligned} \quad (20)$$

С учетом (14) и (18) выражение δW° имеет следующий вид:

$$\begin{aligned} \delta W^{\circ} &= \delta\{\omega_s\}^T [F_{ij}^s]^T [E^{ijkl}] [F_{kl}^t] \{\omega_t\} + \delta\{\omega_s\}^T [F_{(\Theta)}^s]^T [E^{(\Theta)}] [F_{(\Theta)}^t] \{\omega_t\} + \\ &+ \{\delta u_s\} [A]^T \{\psi_{(s,i)}\}^T [\sigma_0^{ij}] \{\psi_{(t,j)}\} [A] \{u_t\}. \end{aligned} \quad (21)$$

Для построения матрицы жесткости необходимо перейти в выражении (21) от коэффициентов ω_s к значениям перемещений в узлах конечного элемента, что можно осуществить с помощью матрицы преобразования $[A]$ функции формы N_L . Эта матрица задает связь между аппроксимирующими функциями Лагранжа и степенными ψ :

$$\{\omega_k\} = [A] \{u_k\}, \quad (22)$$

где $[A]$ – матрица перехода от степенных функций к функциям формы.

С учетом (22) выражение (21) примет вид

$$\begin{aligned} \delta W^{\circ} &= \delta\{u_s\}^T [A]^T [F_{ij}^s]^T [E^{ijkl}] [F_{kl}^t] [A] \{u_t\} + \\ &+ \delta\{u_s\}^T [A]^T [F_{(\Theta)}^s]^T [E^{(\Theta)}] [F_{(\Theta)}^t] [A] \{u_t\} + \\ &+ \{\delta u_s\}^T [A]^T \{\psi_{s,i}\}^T [\sigma_0^{ij}] \{\psi_{t,j}\} [A] \{u_t\} = \\ &= \delta\{\delta u_s\}^T [K^{st}] \{u_t\} + \delta\{\delta u_s\}^T [K_0^{st}] \{u_t\}, \end{aligned} \quad (23)$$

где

$$[K^{st}]_{3 \times 3} = [[A]^T [F_{ij}^s]^T [E^{ijkl}] [F_{kl}^t] [A] + [A]^T [F_{(\Theta)}^s]^T [E^{(\Theta)}] [F_{(\Theta)}^t] [A]]_{60 \times 60} \quad (24)$$

– геометрическая матрица жесткости.

Инкрементальная матрица жесткости вычисляется по формуле

$$[K_0^{st}]_{3 \times 3} = [[A]^T \{\psi_{s,i}\}^T [\sigma_0^{ij}] \{\psi_{t,j}\} [A]]_{60 \times 60} \quad (s = 20, t = 20). \quad (25)$$

Матрица жесткости преднапряженного элемента равна

$$[\Phi^{st}] = [K^{st}] + [K_0^{st}].$$

Таким образом, система линейных алгебраических уравнений имеет вид

$$[\Phi^{st}]\{u_t\} = \{P^s\}.$$

Из выражений (24) и (25) следует, что для построения матриц жесткости $[K^{st}]$ и $[K_0^{st}]$ необходимо определить две специальные матрицы: $[F_{ij}^s]$ и $[A]$.

Коэффициенты разложения $e_{ij}^{(pqr)}$ (15) определим согласно МСКЭ по формулам [4].

Анализ каждой из компонент $e_{ij}^{(pqr)}$ показал, что некоторые коэффициенты $\omega_k^{(pqr)}$ не входят в разложение для аппроксимации перемещений (9). Те коэффициенты деформаций $e_{ij}^{(pqr)}$, которые содержат хотя бы один из членов, отсутствующий в (9), должны быть опущены в разложении (13). Для ε_{11} получаем следующее разложение:

$$\begin{aligned} \varepsilon_{11} \approx & e_{11}^{(000)} + e_{11}^{(100)}x^1 + e_{11}^{(010)}x^2 + e_{11}^{(110)}x^1x^2 + \frac{1}{2}e_{11}^{(020)}(x^2)^2 + e_{11}^{(001)}x^3 + \\ & + e_{11}^{(101)}x^1x^3 + e_{11}^{(011)}x^2x^3 + e_{11}^{(111)}x^1x^2x^3 + \frac{1}{2}e_{11}^{(021)}(x^2)^2x^3 + \\ & + \frac{1}{2}e_{11}^{(002)}(x^3)^2 + \frac{1}{2}e_{11}^{(012)}x^2(x^3)^2. \end{aligned} \quad (26)$$

На основании выражения (26) записывается матрица $[F_{11}^k]$. Разложение тензора ε_{12} имеет вид

$$\begin{aligned} \varepsilon_{12} \approx & e_{12}^{(000)} + e_{12}^{(100)}x^1 + e_{12}^{(010)}x^2 + e_{12}^{(110)}x^1x^2 + e_{12}^{(001)}x^3 + \\ & + e_{12}^{(101)}x^1x^3 + e_{12}^{(011)}x^2x^3 + e_{12}^{(111)}x^1x^2x^3 + \frac{1}{2}e_{12}^{(002)}(x^3)^2. \end{aligned} \quad (27)$$

Проводя аналогичные выкладки для остальных компонент тензора деформации, получаем выражения их разложения в ряд Маклорена и матрицы $[F_{22}^k]$, $[F_{33}^k]$, $[F_{12}^k]$, $[F_{13}^k]$, $[F_{23}^k]$ соответственно для тензоров ε_{22} , ε_{33} , ε_{12} , ε_{13} , ε_{23} .

Рассмотрим процесс построения матрицы преобразования $[A]$. Аппроксимацию компонент перемещений \tilde{u}_i по объему КЭ можно представить через функцию формы $N_{(pqr)}$ и узловые перемещения $u_i^{(pqr)}$:

$$\tilde{u}_i = \sum_{pqr}^{lmn} u_i^{(pqr)} N_{(pqr)}. \quad (28)$$

В матричной форме выражения (6) и (28) имеют такой вид:

$$\tilde{u}_i = \{u_i\}^T \{N\}; \quad (29)$$

$$u_k = \{\omega_k\}^T \{\psi\}. \quad (30)$$

Как видно из (29) и (30), с помощью линейного преобразования можно перейти от системы функций формы $\{N\}$ к системе координатных функций $\{\psi\}$, используя соотношение

$$\{N\} = [A]^T \{\psi\}. \quad (31)$$

Матрица $[A]$ определяется из соотношений (29) и (30).

Предложенная методика расчета конструкций с начальными напряжениями МКЭ реализована в вычислительном комплексе «МИРЕЛА+» [11].

Рассмотрим решение некоторых задач.

Задача 1. Продольный изгиб балки. Балка расположена на двух опорах и сжимается (растягивается) силами P , приложенными с эксцентриситетом $e=0,2$ (рис. 1). Размеры балки следующие: ширина $b=0,02$ м; высота $h=0,2$ м; длина $l=1$ м; модуль упругости $E=0,2$ МПа; коэффициент Пуассона $\nu=0,3$.

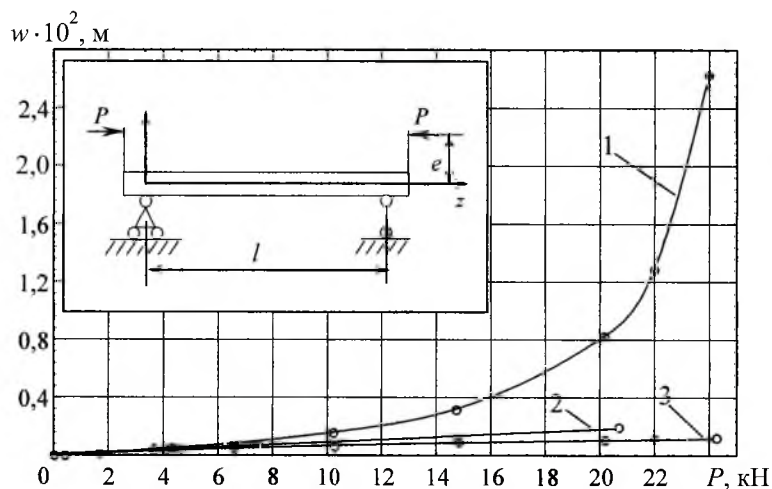


Рис. 1. Зависимость прогиба w от продольной нагрузки P : 1 – сжатие с преднапряжением; 2 – сжатие без учета преднапряжения; 3 – растяжение. (Линии – аналитическое решение; точки – конечноэлементное решение.)

Аналитическое значение для прогиба при сжатии вычисляется по формуле [7]

$$w = e \left[1 - \cos(kl) - \sin(kl) \frac{1 - \cos(kz)}{\sin(kz)} \right],$$

где

$$k = \sqrt{\frac{P}{EI}}; \quad z = 0,5; \quad I = \frac{bh^3}{12}; \quad k \frac{l}{2} = \pi; \quad \frac{2\pi}{l} = \sqrt{\frac{P}{EI}}; \quad P = \frac{4\pi^2 EI}{l^2};$$

для прогиба при растяжении – по формуле [7]

$$w = e \left[\operatorname{ch}(kl) - 1 - \operatorname{sh}(kl) \frac{\operatorname{ch}(kz) - 1}{\operatorname{sh}(kz)} \right].$$

Характер продольного изгиба при растяжении и сжатии совершенно разный. На рис. 1 приведена зависимость прогиба w от продольной нагрузки P . Решения получены при условии сходимости численных результатов для сетки разбиения на КЭ $2 \times 11 \times 21$.

Анализ результатов решений показал, что с увеличением нагрузки сжатия P для балки с преднапряжением прогиб обращается в бесконечность при нагрузке $P = \frac{4\pi^2 EI}{l^2}$. При сжатии без учета в матрице жесткости

преднапряжения зависимость прогиба от нагрузки является линейной и не отражает реальную картину деформирования. Прогиб увеличивается, но не превышает величину эксцентриситета e . При внецентренном растяжении предварительное напряжение не оказывает существенного влияния на свойства конструкции, и зависимость прогиба от нагрузки носит линейный характер.

Задача 2. Изгиб круглой плиты в условиях радиального сжатия. Исследовали плиту радиусом $R = 0,3$ м и толщиной $h = 0,01$ м. Нагрузка радиального сжатия p , поперечная нагрузка $q = 1$ МПа (рис. 2). Упругие постоянные материала таковы: модуль упругости $E = 1$ МПа; коэффициент Пуассона $\nu = 0,25$.

При сжатии прогиб w аналитически определяется из уравнения [2]

$$\frac{6}{7} \xi^3 + \left[\frac{16}{3(1-\nu^2)} - 4p^* \right] \xi = q^*,$$

где

$$q^* = \frac{q}{E} \left(\frac{R}{h} \right)^4; \quad p^* = \frac{p}{E} \left(\frac{R}{h} \right)^2; \quad \xi = \frac{w}{h}.$$

На рис. 2 приведена зависимость относительного прогиба ξ от нагрузки p . Видно, что с повышением нагрузки p при сжатии плиты с преднапряжением прогиб увеличивается (кривые 1, 2), при растяжении – уменьшается (кривая 3).

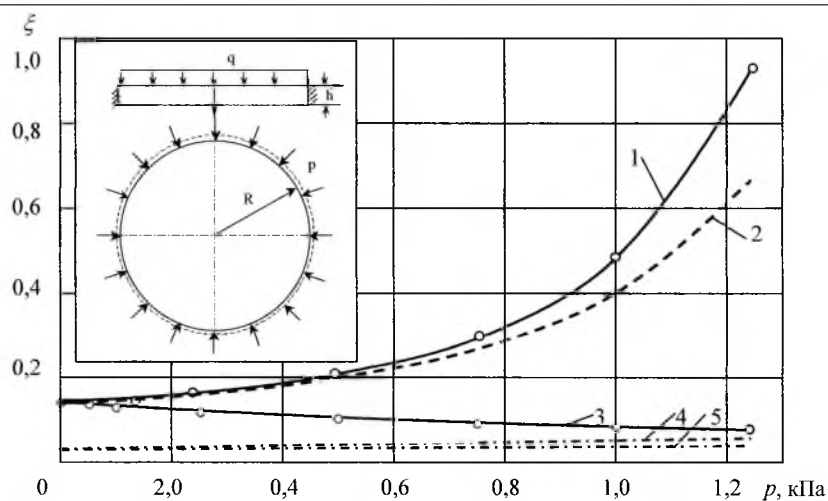


Рис. 2. Зависимость относительного прогиба ξ от продольной нагрузки p : 1 – сжатие, решение МСКЭ; 2 – сжатие (аналитическое решение); 3 – растяжение; 4 – сжатие, решение МСКЭ; 5 – растяжение, решение МКЭ.

Анализ результатов расчета прогиба при сжатии и растяжении показал, что в первом случае удовлетворительное совпадение между численным и аналитическим решением отмечается при деформации до 40%. При радиальном растяжении наблюдается удовлетворительное совпадение численного и аналитического решения.

Применение при расчете изгибаемых элементов МСКЭ позволяет получить достоверные результаты (на рис. 2 кривые 1–3) по сравнению с обычным МКЭ (кривые 4, 5).

Задача 3. Цилиндрический амортизатор сжатия–сдвига. Рассчитываем напряженно-деформированное состояние цилиндрического амортизатора (рис. 3) радиусом $R = 0,025$ м, высотой $h = 0,01$ м под действием сжимающей P и сдвигающей Q нагрузок. Упругие характеристики материала таковы: модуль сдвига $\mu = 0,7$ МПа; коэффициент Пуассона $\nu = 0,49$.

Исследуем, как ведет себя амортизатор при сдвиговой и сжимающей нагрузках при различных степенях сдвига и сжатия с учетом и без учета преднапряжения. Численные результаты получены на основе исследования сходимости и приведены для сетки разбиения на КЭ $9 \times 15 \times 21$. На рис. 3 представлены зависимости сдвигового перемещения u от сдвиговой нагрузки Q при различных степенях поджатия осевой нагрузкой P с учетом и без учета преднапряжения. Как видно, при разных степенях поджатия с учетом преднапряжения с увеличением сдвигового перемещения u сдвиговая нагрузка Q повышается, без учета преднапряжения она остается постоянной.

Проанализируем характер сжимающей нагрузки P в зависимости от сдвига u . Рис. 4 иллюстрирует зависимость перемещения сжатия w от нагрузки P при различных степенях сдвига u с учетом преднапряжения сдвига и без него. Видно, что в первом случае с увеличением перемещения сжатия w нагрузка P повышается, во втором случае она также увеличивается, но остается одинаковой при различных степенях сдвига.

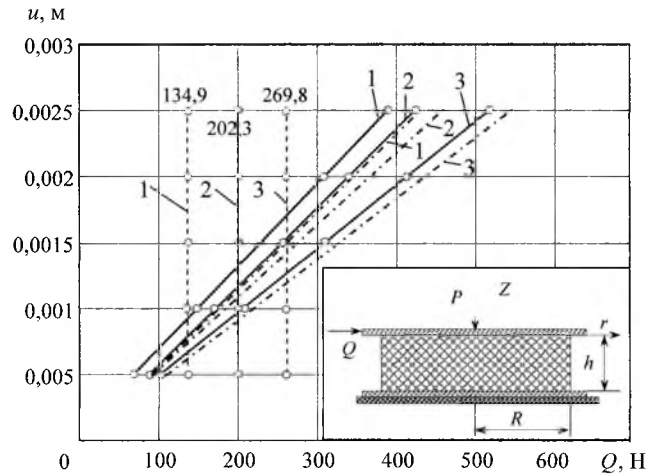


Рис. 3. Зависимость сдвигового перемещения u от нагрузки Q при различных степенях поджатия: 1 – $w/h = 0,001$; 2 – $w/h = 0,0015$; 3 – $w/h = 0,002$. (Сплошные линии – с преднапряжением, МСКЭ; штриховые – без учета преднапряжения, МСКЭ и МКЭ; штрих-пунктирные – с преднапряжением, МКЭ.)

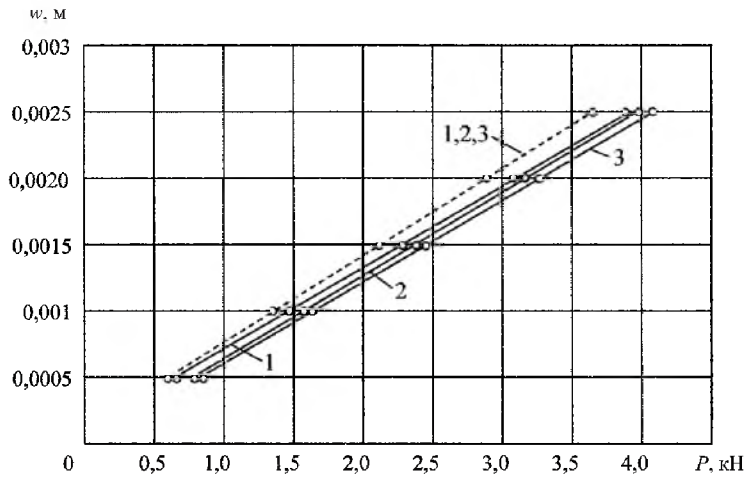


Рис. 4. Зависимость осадки амортизатора w от нагрузки P при различных степенях сдвига: 1 – $u/h = 0,001$; 2 – $u/h = 0,0015$; 3 – $u/h = 0,002$. (Сплошные линии – с преднапряжением, МСКЭ и МКЭ; штриховая – без учета преднапряжения, МСКЭ и МКЭ.)

При расчете конструкций, которые испытывают сдвиговые напряжения, необходимо использовать МСКЭ (рис. 2, 3). Если в результате деформирования определяющими являются нормальные напряжения, то решения МСКЭ и МКЭ совпадают (рис. 1, 4).

Резюме

Розглянуто застосування методу скінченних елементів до розв'язання задач теорії пружності з початковими напруженнями. На основі інкрементальної теорії деформівного твердого тіла отримано співвідношення методу скінченних елементів для обчислення коефіцієнтів матриці жорсткості поперед-

ньо напруженого елемента серендипова сімейства з квадратичною апроксимацією переміщень. Виконано розрахунок напружено-деформованого стану позацентрово стиснутої балки та круглої плити в умовах поздовжньо-поперечного згину. Наведено порівняння числових результатів з аналітичними розв'язками. Досліджено зміну деформацій стиску і зсуву циліндричного амортизатора в залежності від ступеня деформування і послідовності прикладання навантажень.

1. *Вольмир А. С.* Гибкие пластинки и оболочки. – М.: Гос. изд-во науч. техн.-теорет. лит., 1956. – 420 с.
2. *Работнов Ю. Н.* Механика деформируемого твердого тела. – М.: Наука, 1988. – 712 с.
3. *Бойцов Г. В., Палий О. М., Постнов В. А. и др.* Справочник по строительной механике корабля. Т. 2. Пластины. Теория упругости, пластичности и ползучести. Численные методы. – Л.: Судостроение, 1982. – 464 с.
4. *Сахаров А. С., Кислоокый В. Н., Киричевский В. В. и др.* Метод конечных элементов в механике твердых тел / Под ред. А. С. Сахарова, И. Альтенбаха. – Киев: Вища шк., 1982. – 480 с.
5. *Дохняк Б. М.* Метод скінченних елементів для задач з початковими напруженнями // Вісн. Східно-україн. нац. ун-ту ім. В. Даля. – 2004. – № 5 (75). – С. 47 – 51.
6. *Дохняк Б. М., Козуб Ю. Г.* Расчет предварительно напряженных конструкций из эластомеров. Проблемы шин и резинотехнических композитов // Тр. XIII симп. – М., 2002. – Т. 1. – С. 119 – 122.
7. *Киричевский В. В., Дохняк Б. М., Козуб Ю. Г., Киричевский Р. В.* Расчет конструкций с предварительными напряжениями. Прикладные задачи математики и механики // Материалы XII науч. конф. ученых Украины, России, Беларуси (15–21 сент. 2003 г.) – Севастополь: Изд-во СевНТУ, 2003. – 252 с.
8. *Васидзу К.* Вариационные методы в теории упругости и пластичности. – М.: Мир, 1987. – 542 с.
9. *Хофмейстер Л., Гринбаум Г., Ивенсен Д.* Упругопластический расчет больших деформаций методом конечных элементов // Ракет. техника и космонавтика. – 1971. – 9, № 7. – 42 с.
10. *Пономарев С. Д., Бидерман В. Л., Лихарев К. К. и др.* Расчеты на прочность в машиностроении. Т. 2. Некоторые задачи прикладной теории упругости. Расчеты на ползучесть. – М.: Гос. науч.-техн. изд-во машиностроительной лит., 1958. – 1118 с.
11. *Киричевский В. В., Дохняк Б. М., Козуб Ю. Г. и др.* Метод конечных элементов в вычислительном комплексе “МРЕЛА+”. – Киев: Наук. думка, 2005. – 403 с.

Поступила 23. 05. 2005